

交流整流子式电机研究

(电机实验参考书)

苏联莫斯科动力学院

电机教研组编

高等教育出版社



交流整流子式电机研究

(电机实验参考书)

苏联莫斯科动力学院电机教研组编

潘曜先译

周希贤校

高等教育出版社

本书系根据苏联莫斯科动力学院(Московский энергетический институт)1956年出版的该院电机教研组所编“交流整流子式电机研究(电机实验参考书)”(Исследование коллекторных машин переменного тока (Пособие к лаборатории электрических машин))译出的。原书经该院教务处审定为学生用教学参考书，但对于相应制造厂及使用企业也有帮助价值。

本书共包括三个实验，即：实验一，单相换流机研究；实验二，自转子边供电的三相并激式整流子电动机研究；实验三，单相感应式(推斥式)电动机研究。

本书是B. C. 沙罗夫(Шаров)编写的。

交流整流子式电机研究

(电机实验参考书)

苏联莫斯科动力学院电机教研组编

潘唯先译 周希冀校

高等教育出版社出版 北京宣武门内永乐寺7号

(北京市书刊出版业营业登记证字第054号)

京华印书局印装 新华书店发行

统一书号 15010·806 开本 850×1168 1/16 印张 1 1/4
字数 27,000 印数 10001—3,000 定价(7) 0.22
1959年7月第1版 1959年7月北京第1次印刷

目 录

实验一、单幅换流机(0. II.)研究.....	1
实验二、自转子边供电的三相并激式整流子电动机研究.....	12
实验三、单相感应式(推斥式)电动机研究.....	24
附录.....	33

实验一、单枢換流机(O.II.)研究

I. 实验提綱

1. 实验准备:

a) 观察电机;

b) 绘出单枢換流机試驗用及异步启动用的接綫图。

2. 进行单枢換流机的异步启动。

3. 确定电压比和电流比。

4. 求取并繪出当 $\cos \varphi = 1$ 时的工作特性:

$$P_1, I_1, I_2, U_2, \eta = f(P_2).$$

5. 用电抗綫圈进行調压，并繪出在越前及滞后电流时的簡化向量图。

6. 求取并繪出 U 形曲綫。

II. 实验說明

研究对象。

用三相或六相交流变直流的单枢換流机进行实验，該机經变压器接向交流电网。

1. 实验准备

首先观察电机，了解其结构特点: 型式，通风系統，軸承形式，极数，滑环及换向器的相互布置，以及换向器上电刷对于主极軸綫的布置。此外，記下电机的額定数据。在报告书中簡短地叙述电

机的結構。

在熟悉了电机结构及名牌数据后，装接单樞換流机实验用的线路。

图 1,1 及图 1,2 各示三相及六相单樞換流机的接綫图。接綫图中的仪表接单樞換流机的名牌数据选择。

2. 异步启动

通常单樞換流机装有特用启动繞組。启动繞組就是装在极靴槽中的短路繞組。电机实验室的单樞換流机沒有特用启动繞組。在异步启动时将激磁繞組及附加极繞組用作副繞組。

在閉合开关 I_1 之前，双投开关 I_2 及 I_4 应該开断，而双投开关 I_3 处于位置 I (图 1,1 或 1,2)；因而附加极繞組 (W_a) 被短接，激磁繞組 (W_m) 与启动电阻 $r \approx 10r_s$ 接通。

这样，当单樞換流机异步启动时在定子边 (副邊) 成为二相系統的繞組。由原繞組 (轉子) 磁勢建立的旋轉磁場，就将在副繞組 (定子) 中感应电流。磁場与副繞組电流相互作用的結果，产生了电磁轉矩，并使电机旋转起来。

在异步启动时，在被电刷短路的元件中将感应电势，它使換向器上引起火花。为限制換向器上的火花及启动电流，用降压法启动单樞換流机。在六相单樞換流机中，将变压器原繞組先接成星形，再改接成三角形 (图 1,2)，而在三相单樞換流机中則用多級調压，因此要应用副邊有兩級电压的变压器 (图 1,1)。首先，在閉合开关 I_1 后，双投开关 I_2 处于位置 I；因而单樞換流机开始旋转。在电机轉速将近稳定后，将 I_2 投入位置 II，換流机就被接入了額定电压。当轉子轉速接近同步速时，換向器上刷間电压的頻率，小到使接在換向器刷間的，双向标尺 (零点在中心的) 伏特計指針有显著的摆动。激磁繞組應該在伏特計指示最大值时与电刷接通。

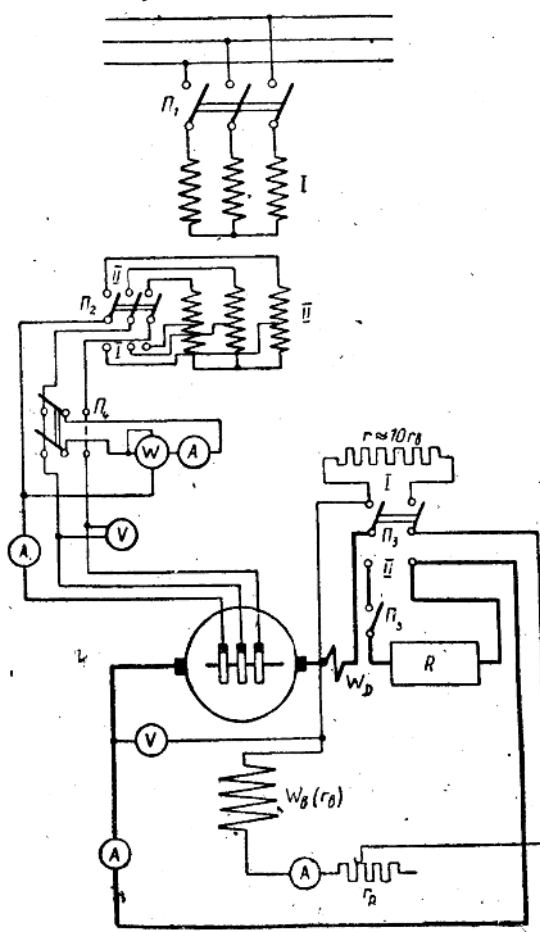


图 1.1. 三相单幅换流机试验用接线图。

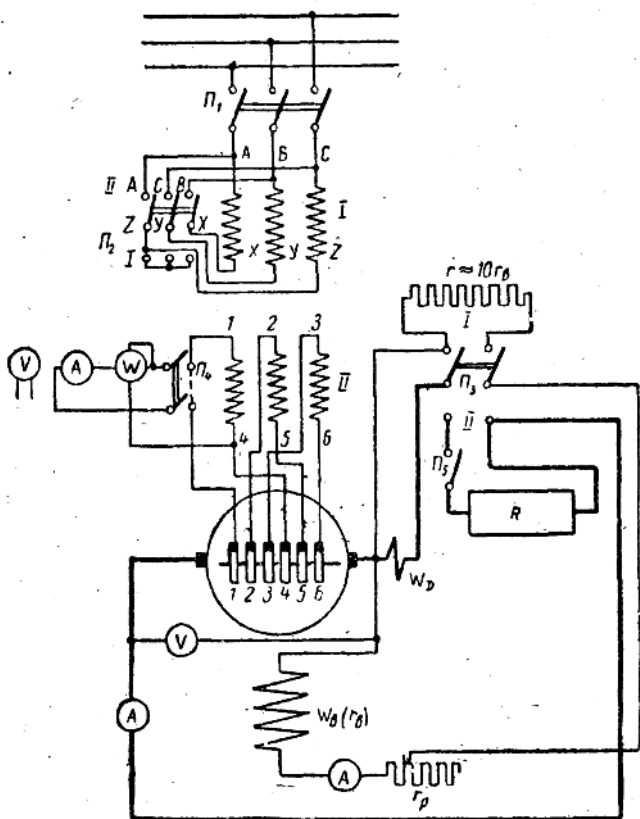


圖 1,2. 六相單樞換流機試驗用接線圖。

如激磁繞組正確地接向電刷，即由激磁繞組的磁勢建立的磁極極性與電刷的極性相當，電機就被拉入同步，伏特計指針將停止擺動。然後應調節激磁電流，使得滑環邊的電流為最小值。

如激磁繞組與換向器的電刷連接不正確，電機不可能同步。

应该将电源拉断，待电机停了以后，将激磁绕组端点与换向器

上电刷换接，然后再按上述方法重复异步启动。

当激磁绕组接向换向器上的电刷，且极性相应时，电机进入同步，该机即作为同步电动机空载运行。

3. 电压比及电流比

a) 将单相换流机的滑环边接入交流电网，由于电枢逆着旋转磁场的方向，以同步速 $n = \frac{60f_1}{p}$ 旋转，在换向器的电刷间将得到直流电压。

当电机气隙中磁通按正弦分布时，位于中性线上的刷间电势 E_2 ，可由电位圆图(图 1,3)决定

$$E_2 = \frac{\sqrt{2} E_1}{\sin \frac{\pi}{m}} \quad (1)$$

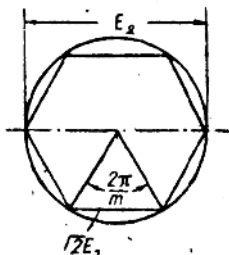


图 1,3. 单相换流机的电压比。

E_1 ——滑环间电势的有效值；

m ——相数(滑环数)。

当气隙磁通不是按正弦分布时，方程式(1)应乘上一修正系数，此系数通常接近于 1。电势 E_1 可由电压 U_1 并计及电枢绕组中的电压降决定。它与 U_1 相差甚小。如忽略电压降不计，则(1)式可写成下式：

$$k_U = \frac{U_1}{U_2} = \frac{\sin \frac{\pi}{m}}{\sqrt{2}} \quad (2)$$

由(2)式可知，在单相换流机中，换向器边电压与滑环边电压有着固定的比例关系。这是因为电势系由同一电枢绕组，在同一磁场中旋转所产生。

被试单相换流机的电压比 $\frac{U_1}{U_2}$ 可由电机空载时伏计的读数求

得。

6) 单樞換流机的換向器邊作为直流发电机在工作, 而交流邊則作为同步电动机。

換向器邊电流及滑环邊电流比, 可由单樞換流机中功率平衡的关系得到:

$$U_2 I_2 = m U_1 I_1 \cos \varphi \cdot \eta, \quad (3)$$

由此求得相电流值:

$$I_1 = \frac{U_2}{U_1} \frac{I_2}{m \cos \varphi \eta}. \quad (4)$$

二相电流間夾角为 $\frac{2\pi}{m}$ 。

大家知道, 当繞組接成多邊形时, 線电流

$$I_4 = 2 I_1 \sin \frac{\pi}{m}. \quad (5)$$

将(4)式代入(5)式, 得:

$$k_4 = \frac{I_4}{I_2} = \frac{U_2}{U_1} \frac{2 \sin \frac{\pi}{m}}{m \cos \varphi \eta}. \quad (6)$$

为得到电流比, 需进行单樞換流机的負載試驗。

閉合开关 I_5 , 改变电阻 R , 使負載电流增至額定值。應該注意, 附加极繞組必須正确連接。如果在負載电流为額定 (I_{2n})时, 擬向器的电刷下无火花, 附加极繞組連接就正确。否則, 應該停下單樞換流机, 将附加极繞組改接后, 再重新启动。六相單樞換流机的有功功率 P_1 等于瓦特表上(图 1, 2)的讀數乘以 3。

根据試驗数据計算

$$\eta = \frac{P_2}{P_1}; \cos \varphi = \frac{P_1}{\sqrt{3} U_1 I_4}$$

由實驗中得到的电流比 $\frac{I_4}{I_2}$ 應該与由(6)式計算出的相比較。

如将(2)式中电压比代入(6)式, 可以简化为

$$k_t = \frac{I_2}{I_1} \approx \frac{2\sqrt{2}}{m \cos \varphi \eta}, \quad (7)$$

即单相换流机的电流比, 当 $\cos \varphi = \text{常数}$, $\eta \approx \text{常数}$ 时, 接近一常数。

4. 工作特性

按上述步骤进行单相换流机的负载试验。在空载时调节激磁电流到 $\cos \varphi = 1$ 。然后闭合开关 I_{L5} , 借减少电阻 R , 使负载电流逐渐由零增加至额定值; 同时经常保持 $\cos \varphi$ 等于 1。记下当电流为 0; 0.25; 0.5; 0.75; 1.0 I_{2n} 时各仪表的读数。单相换流机的工作特性示于图 1.4。

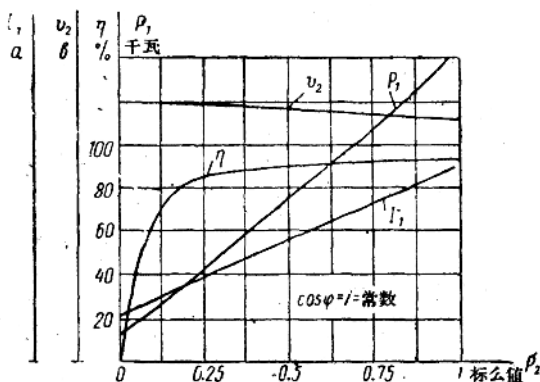


图 1.4. 单相换流机的工作特性。

a) 电压特性 $U_2 = f(P_2)$ 。

电压 U_2 随功率 P_2 的增加稍许减少。负载时使电压变化的原因是: 电枢绕组的阻抗, 换向器及滑环上电刷的接触电阻, 以及电枢反应。应该注意, 单相换流机中当 $\cos \varphi = 1$ 时的电压变化 $\Delta U \%$ $= \frac{U_{20} - U_{2n}}{U_{2n}} \cdot 100$ 是小的 (小于同步电机)。这主要是因为在稳定

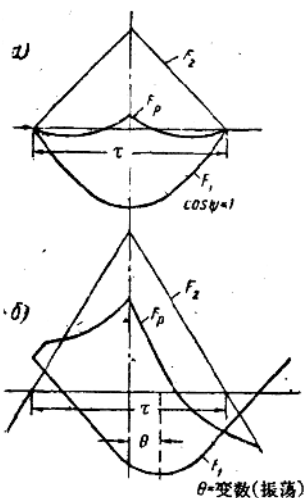


图 1.5. a) 稳定状态时单樞換流机的电樞反应, b) 单樞換流机振蕩时的电樞反应。

負載下它的电樞反应小。因为单樞換流机的滑环邊在同步电动机状态下运行, 而换向器邊在直流发电机状态下运行, 单樞換流机中由电流 I_2 建立的磁勢 F_2 与由电流 I_1 建立的磁勢 F_1 , 方向相反 (图 1.5-a)。

6) 功率特性 $P_1 = f(P_2)$ 。

功率 P_1 对于 P_2 的关系式可自功率平衡得到

$$mU_1I_1\cos\varphi = U_2I_2 + \Sigma p, \quad (8)$$

式中 Σp —— 单樞換流机的总損失。

实际上, 功率 P_1 随 P_2 的增加成直线上升, 当考慮到負載損耗时, 仅有少許偏斜。

5. 調压

換向器上的刷間电压 U_2 随負載的增加而减少。在許多場合中需要电压值不变或在一定的范围内变化。

調节电压 U_2 的方法, 是由单樞換流机能保持换向器邊及滑环邊的电压比不变这一特性出发的。

为調节換向器上电刷間的电压, 必須改变滑环上的电压。因此就要在換流机与电网間接入鐵心电抗線圈。在图 1.6 中电抗線圈接在滑环及变压器的副繞組間。借改变鐵心的气隙来調节線圈的电抗值。

在电网电压不变下, 按下法調节单樞換流机的滑环間电压。

启动单枢换流机(启动时将电抗线圈经开关II短接),并使其同步后,增加负载电流 I_2 到额定值。然后(开断开关II)调节激磁电流,使滑环间电压改变,因之换向器电刷间电压也随之变化。

忽略电阻电压降落,可以写成:

$$\dot{U}_1 = \dot{U}_e - j I_1 X, \quad (9)$$

式中: X —线圈的电抗;

I_1 —单枢换流机滑环边的电流;

U_e —电网电压;

U_1 —单枢换流机滑环间的电压

当过激时,电流 I_1 是越前的。与此相应的简化向量图示于图

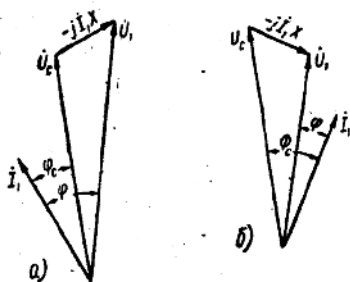


图 1.7. a) 当单枢换流机过激时, b) 当单枢换流机欠激时的简化向量图。

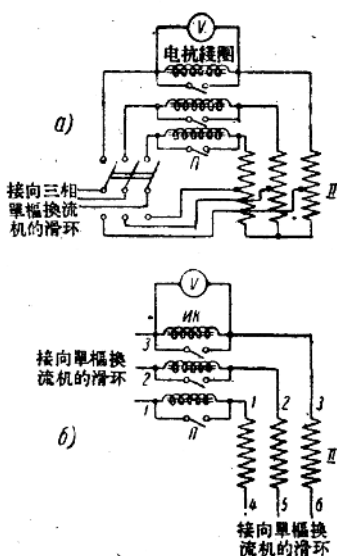


图 1.6. 将电抗线圈接入单枢换流机的交流边。

1, 7-a。

此时,滑环间的电压将会增加,因而换向器上的电压也随之增加。

当欠激时,电流 I_1 是滞后的。此时,滑环间电压 U_1 将小于电压 U_e (图 1.7-b)。

因此,要使电压 U_2 值增加,必须增加单枢换流机的激磁电流。

在換向器邊的電壓調節範圍與電抗值 X 、激磁電流均有關。

當更大地改變激磁電流時，由於無功電流的存在，電樞繞組中的損失將顯著增加。利用電抗線圈來調節單樞換流機的電壓，其範圍選在 $\pm 7.5\%$ 之內。

根據實驗數據，應繪出當滑環邊電流為額定值時，過激的及欠激的單樞換流機的簡化向量圖。

在相應的實驗中量得滑環間電壓 U_1 ，電抗線圈的電壓降落及變壓器繞組上的電壓 (U_2) 后，就可以繪出簡化向量圖。

6. U-形曲線

求取 U-形曲線，仍應用圖 1, 1 或圖 1, 2 的接線圖。當滑環間電壓為常數時，求取空載時 ($I_2 = 0$) 及負載時 ($U_2 I_2 = \text{常數}$) 電流 I_1 與激磁電流 I_0 的關係。

當負載時，電壓 U_2 有少許改變。因而電流 I_2 應該調節到使換向器邊的功率保持常數。

$I_1 = f(I_0)$ 的曲線可在電流 I_2 不變下求取，此時易於確定當激磁電流改變時的電流比。

根據實驗數據繪出曲線 $I_1 \cos \varphi = f(I_0)$ ，弄清激磁電流對電流 I_1 及功率因數的影響。

單樞換流機在過激時，有時可以用作在越前電流下運行的無功功率發電機。應該注意，此時無功電流會增加電樞繞組中的銅損。

7. 換向

單樞換流機在穩定情況下的換向是令人滿意的。

附加極磁勢應這樣來選擇，即使得在換向區內建立磁場，並補償換向區內的電樞合成磁場 ($F_p = F_2 - F_1$) (圖 1, 5-a)。為在過渡

状态下也得到满意的换向，附加极的磁路应有较大的磁阻，这常借选择附加极与电枢间较大的气隙及附加极与机座间的第二气隙以达到。附加极的总气隙常选为主磁极下气隙的2—3倍。

当负载突然增加时，滑环边电流的上升比换向器边电流的增加来得慢。作用在转子上的发电机转矩，就比电动机转矩大，因而发生电枢的振荡。磁势 F_1 此时对磁极轴线有相对移动，同时磁势 F_2 的轴线在空间则是静止的（图1,5-6）。电枢合成磁势此时乃急剧变化（在换向区域内磁势的脉振，换向器上电位曲线的畸变），因而将在换向器上引起火花，甚至可能引起环火。所以单枢换流机应装有阻尼绕组。

实验二、自转子边供电的三相并激式整流子电动机研究

I. 实验提纲

1. 实验准备:

a) 观察电机并弄清沿换向器移动电刷的机构动作原理。

b) 测量副绕组电势 E_2 , 换向器刷间电势 E_A , 并确定当电刷在不同位置时的副电路合成电势。

c) 确定电刷在极限位置时的电势比 $\frac{E_A}{E_2}$ 。

d) 绘副电路的电势向量图。

2. 电动机的启动及空载运行。

a) 启动电动机。

b) 确定空载时的调速范围。

3. 求取并绘出在下述三种电刷位置时, 当 $U_1 = \text{常数}$, $f_1 = \text{常数}$ 时的工作特性 $I_1, P_1, \cos \varphi, \eta, P_2, n = f(M)$:

a) 当高于同步速时,

b) 当电刷移动到同一处时(即当在副绕组中无附加电势时),

c) 当低于同步速时。

4. 求取并绘出调节特性:

$I_1, P_1, \cos \varphi, \eta, P_2 = f(n)$ 当 $M = \text{常数}$, $U_1 = \text{常数}$, $f_1 = \text{常数}$ 时。

5. 在低于同步速时调节 $\cos \varphi$ (任一速度下)。

II. 實驗說明

研究對象

被研究的自轉子邊供電的三相并激式整流子電動機(圖2,1; 2,2),其結構如下述。

在轉子槽(圖2,1-6)中放置二繞組:三相繞組(w_1),與滑環相連接,及輔助繞組(w_A),與換向器(K)相連接。

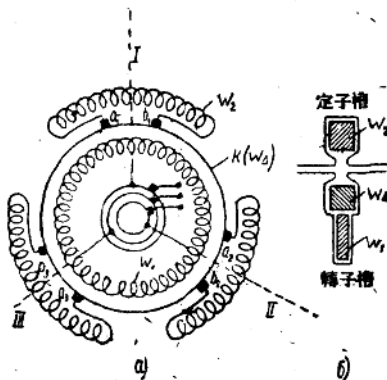


圖2.1. a)自轉子邊供電的三相并激式整流子電動機, b)定子及轉子槽中繞組的布置。

在定子槽中放置三相繞組(w_2)(定子結構和一般的三相異步電動機的定子相同)。

定子每相繞組的首端及末端與換向器上的電刷相連接,電刷借特殊機構(參看圖2,2-a)可相互移動。

在被研究的電動機中,轉子上的三相繞組(w_1)是原繞組,而定子上的三相繞組(w_2)是電動機的副繞組。

輔助繞組(w_A)是用来調節電動機的轉速的(見後)。